

mit  $P_x$  bzw.  $U_x$  die Meßgröße und erhalten den Leistungspegel  $L_p$  (oder auch  $L$ ) und den Spannungspegel  $L_u$ :

$$L_p = 10 \lg \frac{P_x}{P_0} = 20 \lg \frac{U_x}{U_0} - 10 \lg \frac{Z}{Z_0} \quad (1.2-2a)$$

$$L_u = \ln \frac{U_x}{U_0} N_p = \frac{1}{2} \ln \frac{P_x}{P_0} N_p + \frac{1}{2} \ln \frac{Z}{Z_0} N_p \quad (1.2-2b)$$

Wir können einen bestimmten Pegel außerdem sowohl in  $N_p$  als auch in dB angeben, denn es gilt nach Gl. (1.2-2a) und Gl. (1.2-2b):

$$N_p = \left( \frac{2}{\ln 10} \right) B = \left( \frac{20}{\ln 10} \right) \text{dB} \quad (1.2-3)$$

$$N_p = 8,686 \text{ dB} \\ \text{dB} = 0,115 N_p$$

Genau so wichtig wie der Begriff Pegel ist der Begriff Dämpfung. Wir betrachten eine reflexionsfreie abgeschlossene Leitung (vgl. 2.2.5) und vergleichen die Leistungspegel  $L_{p1}$  und  $L_{p2}$  an zwei Stellen 1 und 2 im Übertragungsweg. Das logarithmische Verhältnis der Leistungen  $P_1$  und  $P_2$  an den besagten Stellen bezeichnet man als

$$\text{Dämpfungsmaß } a = 10 \lg \frac{P_1}{P_2} \text{ dB} \quad (1.2-4)$$

Mit Gl. (1.2-2) wird

$$L_{p1} - L_{p2} = 10 \lg \frac{P_1}{P_0} - 10 \lg \frac{P_2}{P_0} = 10 \lg \frac{P_1}{P_2} \text{ dB}$$

also

$$a = L_{p1} - L_{p2} \quad (1.2-5)$$

Im Normalfall ist  $a > 0$ , es liegt also tatsächlich eine Dämpfung vor; bei  $a < 0$  handelt es sich um eine Verstärkung. Wir sehen, daß auch bei Einsatz von Übertragern im Zug der Übertragungsstrecke, d.h. bei unterschiedlichem Wellenwiderstand (vgl. 2.2) an den Punkten 1 und 2, Gl. (1.2-5) gültig bleibt; Voraussetzung ist die o.g. Re-

flexionsfreiheit. Für die Übertragungstechnik sind zwei Darstellungsarten wichtig:

– Als Bezugswert  $P_0$  bzw.  $U_0$  (oder  $I_0$ ), siehe Gl. (1.2-2), wird der Wert an einer bestimmten Stelle des Übertragungsweges genommen („Relativer Pegel“). In der Regel bezieht man sich auf den Eingang; bei Fernsprechtsystemen auf den Punkt nach dem I. Gruppenwähler.

– Als Bezugswert dient ein festgelegter Normalwert („Absoluter Pegel“). Der Normalwert ist bei der Leistung  $P_0 = 1 \text{ mW}$ , bei der Spannung  $U_0 = 0,775 \text{ V}$  (ein Effektivwert der Spannung von  $0,775 \text{ V}$  entspricht an einem Widerstand  $Z_0 = 600 \Omega$  – übliche Anpassung bei Fernspreitleitungen – der Leistung  $1 \text{ mW}$ ). Häufig wird der absolute Pegel in dBm oder Npm angegeben; der Zusatz m weist auf den Bezugswert  $1 \text{ mW}$  hin. Z.B.:  $1 \text{ pW} \approx -90 \text{ dBm}$ .

**Beispiel:** In einem Widerstand (Fall a):  $600 \Omega$ , Fall b):  $150 \Omega$  wird eine Leistung  $P = 150 \mu\text{W}$  umgesetzt. Wie groß ist der absolute Pegel?

a) Hier werden Leistungspegel  $L$  und Spannungspegel  $L_u$  gleich, da  $Z_0 = 600 \Omega$  ist. Nach Gl. (1.2-2a):

$$L = L_u = 10 \lg \frac{150 \mu\text{W}}{1 \text{ mW}} \text{ dB} = -8,24 \text{ dBm}$$

b) Da die Leistung gleich bleibt, ändert sich am Leistungspegel nichts. Spannungspegel nach Gl. (1.2-2a):

$$L_u = L + 10 \lg \frac{Z_x}{Z_0} \text{ dB} = -8,24 \text{ dB} - 6,02 \text{ dB}$$

$$L_u = -14,26 \text{ dB}$$

In fast jedem Buch über Nachrichtentechnik findet man Tabellen oder Nomogramme, um Leistungs- oder Spannungsverhältnisse sowohl in dB als auch in Np ausdrücken zu können. Für die praktische Arbeit ist es aber fast hinreichend, wenn wir die in Gl. (1.2-2) und Gl. (1.2-3) niedergelegten Zusammenhänge verstehen und uns zwei Werte gemerkt haben:

- Leistungsverhältnis 2 entspricht 3 dB ( $0,3 \text{ B} = \lg 2$ )
- Leistungsverhältnis 10 entspricht 10 dB ( $1 \text{ B} = \lg 10$ ), damit: Leistungsverhältnis  $10 \cdot 10 = 100$  entspricht  $(10 + 10) \text{ dB} = 20 \text{ dB}$ , usw.

Daraus können wir die meisten Werte im Kopf ermitteln.

**Beispiel:** Ein Sender gibt  $1 \text{ W}$  ab. Die Strecke hat eine Dämpfung von  $118,5 \text{ dB}$ . Wie groß ist die Leistung am Ende der Strecke?

Wie kennen einen der fraglichen Dämpfung nahe liegenden Wert:  $120 \text{ dB}$  sind 12 Größenordnungen der Leistung, d.h.  $1 \text{ W}$  würde durch  $120 \text{ dB}$  auf  $1 \text{ pW}$  gedämpft. Da  $3 \text{ dB} \approx \text{Faktor } 2$  bei der Leistung, entsprechen  $1,5 \text{ dB}$  dem Faktor  $\sqrt{2} \approx 1,41$ . Ergebnis also  $1,41 \text{ pW}$ .

Näheres zur Pegelrechnung findet man u.a. in [1-52], [1-127], [1-51].

### 1.2.1.3. Komplexe Kreisfrequenz und Eigenschwingungen

Bei der Untersuchung von Netzwerken ergibt sich eine nützliche Erweiterung der gewohnten Beschreibung stationärer Sinusschwingungen: Die Einführung der „Komplexen Kreisfrequenz“ (oft auch einfach *komplexe Frequenz* genannt)

$$p = \sigma + j\omega \quad (1.2-6)$$

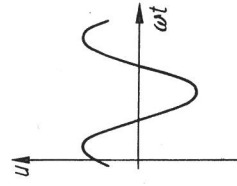
Wir wollen diesen Punkt etwas genauer besprechen. Dabei werden wir immer wieder das selbe exemplarische Beispiel heranziehen (Reihenschwingkreis).

Wir beginnen mit bekannten Begriffen der komplexen Rechnung. Die folgenden Sinusgrößen sind in DIN 5475 Blatt 1, DIN 5483 und DIN 40110 festgelegt; wir nehmen die Spannung  $u(t) = \hat{u} \cos(\omega t + \varphi)$  als Beispiel:

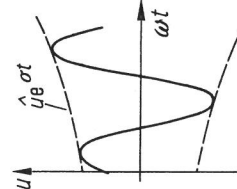
Augenblickswert  $u$

Amplitude  $\hat{u}$

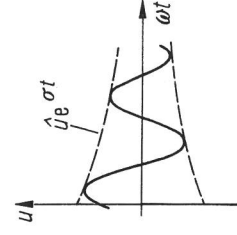
$$\text{Effektivwert } U = \frac{1}{\sqrt{2}} \hat{u}$$



$\sigma = 0$



$\sigma > 0$



$\sigma < 0$

Komplexe Amplitude  $\hat{u} = \hat{u} e^{j\varphi}$

$$\text{Komplexer Effektivwert } \underline{U} = U e^{j\varphi} = \frac{1}{\sqrt{2}} \hat{u} \quad (1.2-7)$$

Der komplexe Augenblickswert der zeitlich sinusförmig verlaufenden Spannung ist

$$\underline{u}(t) = \hat{u} e^{j\varphi} \cdot e^{j\omega t} = \hat{u} e^{j\omega t} \quad (1.2-8)$$

Der physikalische Augenblickswert ist der Realteil des komplexen Augenblickswertes

$$u(t) = \text{Re } \underline{u}(t) = \hat{u} \cos(\omega t + \varphi) \quad (1.2-9)$$

Wir erhalten bei der Darstellung in der komplexen Ebene den physikalischen Augenblickswert, indem wir den komplexen Augenblickswert auf die reelle Achse projizieren.

Einführung der komplexen Kreisfrequenz  $p$

Nun soll die Beschreibung der stationären Sinusschwingung Gl. (1.2-9) auf zeitlich an- oder abklingende Schwingungen erweitert werden; zu diesem Zwecke wird in Gl. (1.2-9) der Faktor  $e^{\sigma t}$  eingeführt:

$$u(t) = \hat{u} e^{\sigma t} \cos(\omega t + \varphi) \quad (1.2-10)$$

Bild 1.2-1 zeigt Beispiele für verschiedene  $\sigma$ . Wir vergleichen nun Gl. (1.2-9) und Gl. (1.2-10):

$$(1.2-9):$$

$$u(t) = \hat{u} \cos(\omega t + \varphi) =$$

$$= \text{Re } \{ \hat{u} e^{j(\omega t + \varphi)} \} = \text{Re } \{ \hat{u} e^{j\varphi} e^{j\omega t} \}$$

$$(1.2-10):$$

$$u(t) = \text{Re } \{ \hat{u} e^{\sigma t} e^{j(\omega t + \varphi)} \} = \text{Re } \{ \hat{u} e^{j\varphi} e^{(\sigma + j\omega)t} \}$$

Bild 1.2-1. An- und abklingende Sinusschwingungen

Durch Einführung der komplexen Kreisfrequenz  $p$  nach Gl. (1.2-6) erhalten wir eine einheitliche Darstellung sowohl für stationäre als auch für an- bzw. abklingende Sinusschwingungen. Es wird mit der komplexen Amplitude  $\hat{u} = \hat{u}e^{j\varphi}$  nach Gl. (1.2-7):

$$\text{Komplexer Augenblickswert} \quad \underline{u}(t) = \hat{u}e^{j\varphi}e^{pt} = \hat{u}e^{pt} \quad (1.2-11)$$

Physikalischer Augenblickswert

$$u(t) = \operatorname{Re} \underline{u}(t) = \hat{u}e^{\sigma t} \cos \omega t \quad (1.2-12)$$

Wir können den Zahlenwert der komplexen Kreisfrequenz  $p$  in der Gaußschen Zahlenebene darstellen, wie dies bei komplexen Zahlen üblich ist. Wir sprechen dann von der *Ebene der komplexen Kreisfrequenz* oder *p-Ebene*. Bild 1.2-2 zeigt, welche Oszillogramme bestimmten Punkten der  $p$ -Ebene zukommen. Punkte auf der imaginären Achse ( $j\omega$ -Achse) kennzeichnen reine Sinusschwingungen. Für jeden Punkt der Ebene ergibt die Ordinate den Wert der physikalischen Kreisfrequenz (deshalb nur obere  $p$ -Halbebene vorhanden) und die Abszisse die Schnelligkeit des An- oder Abklingens.

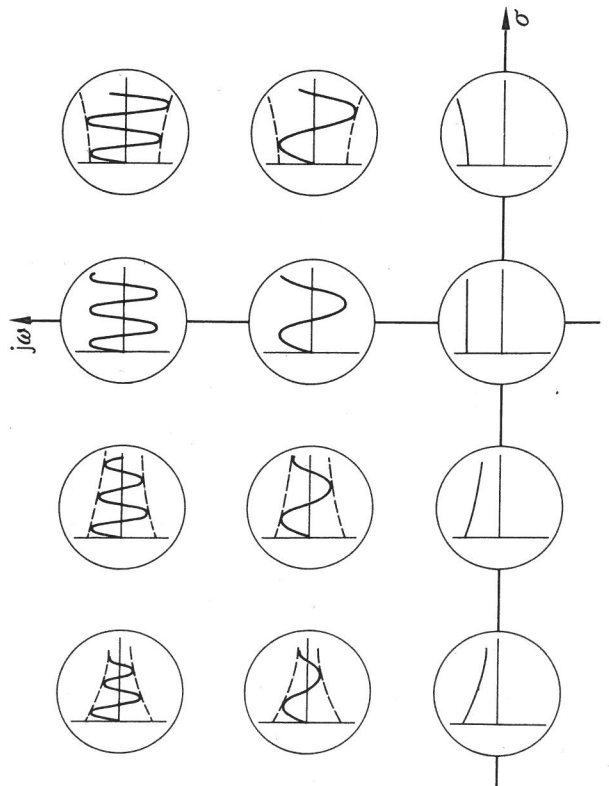


Bild 1.2-2. Ebene der komplexen Kreisfrequenz ( $p$ -Ebene) mit erläuterten Oszillogrammen

### Operatorenrechnung

Bei der Einführung der komplexen Rechnung bei Wechselstromgrößen ergab sich z.B. für den Spannungsabfall, den ein sinusförmiger Strom  $i(t)$  an einer Induktivität hervorruft:

$$\underline{u}_L(t) = L \frac{di_L(t)}{dt}$$

Mit Gl. (1.2-8)

$$\hat{u}e^{j\omega t} = L \frac{d\hat{i}e^{j\omega t}}{dt}$$

$$\hat{u} = j\omega L \hat{i} \quad (1.2-13)$$

Oder mit Effektivwerten

$$\underline{U} = j\omega L \underline{I} \quad (1.2-14)$$

Alle Ströme und Spannungen im linearen Netzwerk mit sinusförmiger Erregung (Frequenz  $\omega$ ) sind selbst wieder sinusförmig (Frequenz  $\omega$ ); sie enthalten in ihren komplexen Augenblickswerten sämtlich den Faktor  $e^{j\omega t}$ , den man manchmal als „Dreher“ bezeichnet. Man kann deshalb mit diesem Faktor kürzen und kommt zur gewohnten Darstellung Gl. (1.2-13) bzw.

### 1.2. Theorie der Netzwerke

Gl. (1.2-14). Bei der Einführung der komplexen Frequenz trat an die Stelle des „Drehers“  $e^{j\omega t}$  der „Drehstrecker“  $e^{pt}$ . Wir können in linearen Netzen Ströme und Spannungen stets durch Drehstrecker darstellen. Dies führt uns auf die von Heaviside und K.W. Wagner begründete *Operatorenrechnung* [1-21]; sie ist im Prinzip eine erweiterte komplexe Behandlung der Wechselstromprobleme. Wie sich vorher für den induktiven Widerstand in Gl. (1.2-14) der Wert  $j\omega L$  ergab, so ergibt sich nach der „analytischen Erweiterung“:

$$j\omega \rightarrow p = \sigma + j\omega$$

der „Operator“  $pL$ . Praktisch stellen wir für ein gegebenes Netzwerk wie gewohnt mit komplexer Rechnung die Gleichungen auf und ersetzen dann  $j\omega$  durch  $p$ . Zusammenstellung:

Gesetz Operator

$$u_R(t) = R i_R(t)$$

$R$

$$u_L(t) = L \frac{di_L(t)}{dt}$$

$pL$

$$u_C(t) = \frac{1}{C} \int i_C(t) dt \quad \frac{1}{pC} \quad (1.2-15)$$

Die Differentiation führt also auf die Multiplikation mit  $p$ , die Integration auf die Multiplikation mit  $\frac{1}{p}$ .

*Darstellung von Netzwerkeigenschaften in der komplexen p-Ebene*

Aus der Mathematik ist die Beschreibung einer Funktion durch ihre Pole und Nullstellen bekannt. Eine anschauliche und wichtige Darstellung von Netzwerkeigenschaften ergibt sich, wenn man die Pole  $p_{\text{st}}$  (Singularitäten, Unendlichkeitenstellen) und die Nullstellen  $p_0$  (Wurzeln) einer das Netzwerk kennzeichnenden Funktion (Übertragungsfunktion; Scheinwiderstand bei Zweipolen) in der  $p$ -Ebene darstellt. Aus einer derartigen Darstellung können wir z.B. sofort Angaben über die Stabilität machen (siehe 1.3.2.3).

Wir ermitteln Nullstellen und Pole durch eine Faktorenzerlegung des zu untersuchenden kom-

plexen Ausdrucks. Ein bekanntes E [1-21], [1-24] ist der Scheinwiderst einfachen Zweipols, nämlich des Reihkreises. Wir stellen den Scheinwiderst rationale Funktion (d.h. als Verhältnis Polynome in  $p$ ) dar und ermitteln die Faktorenzerlegung die Wurzeln des Zähler (Nullstellen von  $\underline{Z}$ ) und des Nenner (Pole von  $\underline{Z}$ ).

Es ergibt sich

$$\underline{Z}(p) = R + pL + \frac{1}{pC} = \frac{p^2 L + pR + \frac{1}{C}}{p} \\ = L \frac{(p - p_{01})(p - p_{02})}{(p - p_{x1})}$$

Durch die Angabe der Pole und Nul also  $\underline{Z}$  bis auf eine Konstante ( $L$ ) ein stimmt.

Aus dem Zählerpolynom erhalten wir stellen

$$p_{01}, p_{02} = -\frac{R}{2L} \pm j \sqrt{\left(\frac{1}{LC} - \left(\frac{R}{2L}\right)^2\right)}$$

mit den Abkürzungen

$$\sigma = -\frac{R}{2L}; \quad \omega_0 = \frac{1}{\sqrt{LC}}; \quad \omega'_0 = \sqrt{\omega_0^2 - \sigma^2}$$

Der Nenner verschwindet für  $p = p_{x1} =$  dem ergibt sich wegen des Übergewicht im Zähler von Gl. (1.2-16) als zw  $p_{x2} = \infty$ .

Durch Eintragen der Nullstellen a Kreise und der Pole als Kreuze erhält

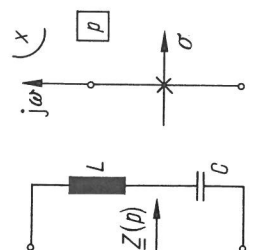


Bild 1.2-3. Idealer Reihenschwingkreis und Diagramm